

大阪大学 正員 前田 幸雄
大阪大学 学生員 ○藤本 一男

1. まえがき 塑性設計法を構造物に適用するためのアーチの極限耐荷力に関する研究の一部として、アーチの断面に働く曲げモーメント、および軸力によって塑性崩壊をする場合の解析を、2ヒンジアーチを対象として、円形、および放物線アーチ、対称、非対称の集中荷重、および等分布荷重の条件のもとに行なったものである。降伏条件を示す曲げモーメントと軸力の相関曲線を直線で近似して上界定理を用いて、円形アーチには矩形断面、放物線アーチには、上下2ヶの対称箱型断面について計算した結果を示した。

2. 理論式 柱脚は完全弾塑性体であり、座屈、痕跡、脆性破壊等が生じないとして、曲げモーメント、および軸力のみを考慮する。

(1) 降伏条件式

$$\text{矩形断面に対する} \quad m + n = 1 \quad (1)$$

$$\text{2ヶの対称箱型断面に対する} \quad m + n = 1 \quad (1')$$

ここで、 $m = \frac{M}{M_0}$, $n = \frac{N}{N_0}$, M_0, N_0 : 各々単独で働く場合の降伏軸力、降伏曲げモーメント。

(2) 円形2ヒンジアーチの崩壊荷重算定式

対称荷重(図-1, 図-3)

中央支点における水平方向、および重直方向の変位条件、および垂ベクトルと軸力の相関曲線の直交条件から

$$\frac{\theta_1}{\theta_2} = - \frac{(1+h)\cos\phi_2 - \cos\phi_1}{1-h - \cos\phi_1} = \mu \quad (2)$$

塑性関節の生ずると予想される点①、②における内部仕事率は

$$W_b = M_0 \{ (m_1 \theta_1 + n_1 \lambda_1) + (m_2 \theta_2 + n_2 \lambda_2) \} = 2M_0(\mu-1) \theta_2 \quad (3)$$

ここで、 θ_1, θ_2 は塑性関節における回転角、 λ_1, λ_2 は伸縮率、 $h = \frac{M_0}{2N_0}$ である。

非対称荷重(図-2, 図-4)

貞Bにおける水平方向、および重直方向の変位条件から

$$\frac{\theta_1}{\theta_2} = - \frac{(1+h)\cos\phi_2 - \cos\phi_1}{(1-h)\cos\phi_1 - \cos\phi_2} = \mu' \quad (4)$$

$$\gamma = \frac{-(1+h)\sin(\phi_2 - \phi_1) + (1-h)\sin(\phi_1 + \phi_2) - (1-h')\sin(\phi_1 + \phi_2)}{2\sin\phi_0 \{ (1-h)\cos\phi_1 - \cos\phi_2 \}} \theta_2 \quad (5)$$

$$= \gamma \theta_2$$

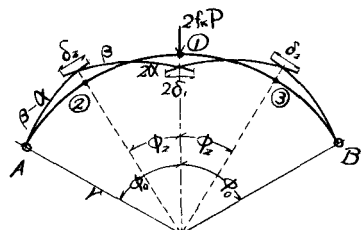


図-1

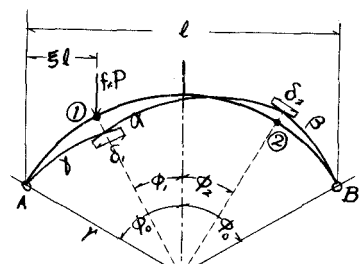


図-2

塑性関節が生ずると予想される点、①、②における内部仕事は

$$W_e = M_0 \{ (M_0 \theta_1 + N_0 \lambda_1) + (M_0 \theta_2 + N_0 \lambda_2) \} = M_0 (\mu' - 1) \theta_2 \quad (6)$$

(a) 対称集中荷重 (図-1)

外部仕事

$$W_e = -2 f_k P r \frac{-(1-h) \sin \phi_0 + (1-h') \sin \phi_2 + (1+h) \sin(\phi_0 - \phi_2)}{1-h - \cos \phi_0} \theta_2, \quad (7)$$

式(3)=式(7)から

$$f_k P = \frac{1-h-2 \cos \phi_0 + (1+h) \cos \phi_2}{(1+h) \sin(\phi_0 - \phi_2) + (1-h') \sin \phi_2 - (1-h) \sin \phi_0} \frac{M_0}{r} \quad (8)$$

(b) 非対称集中荷重 (図-2)

外部仕事

$$W_e = f_k P \{ \nu (\sin \phi_0 - \sin \phi_1) + \frac{1}{2} h \mu' \sin \phi_1 \} r \theta_2 \quad (9)$$

式(6)=式(9)から

$$f_k P = \frac{\mu' - 1}{\nu (\sin \phi_0 - \sin \phi_1) + \frac{1}{2} h \mu' \sin \phi_1} \frac{M_0}{r} \quad (10)$$

(c) 対称等分布荷重 (図-3)

$|\Phi| \leq |\Phi'|$ の場合

$$f_k W = 2 \left[\{ (\sin \phi_0 - \sin \phi_1) \mu + \sin \phi_0 - (2-h) \sin \phi_1 + \frac{1}{2} \sin \phi_1 \} \sin \phi_1 \right]^{-1} \cdot (\mu - 1) \frac{M_0}{r} \quad (11)$$

$|\Phi| \geq |\Phi'|$ の場合

$$f_k W = 2 \left[\{ \sin \phi_0 - \frac{1}{2} \sin \phi_1 - (1-h) \sin \phi_1 \} (\sin \phi_0 - \sin \phi_1) (\mu + 1) + \sin \phi_1 \{ (\sin \phi_0 - \sin \phi_1) (\mu + 1) - \frac{1}{2} \sin \phi_1 \} \right]^{-1} \cdot (\mu - 1) \frac{M_0}{r} \quad (12)$$

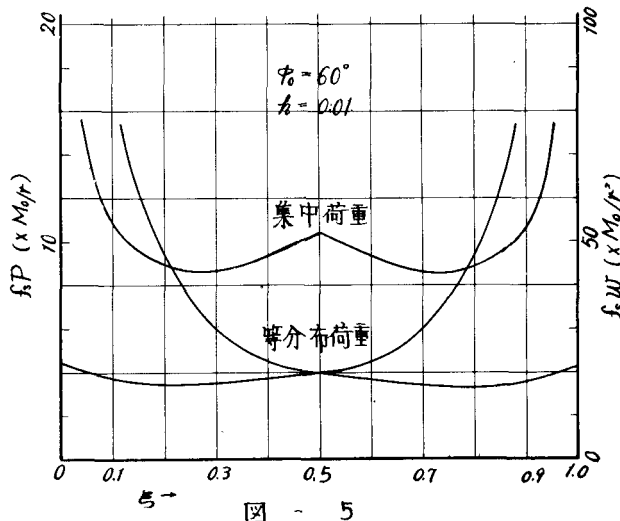


図-5

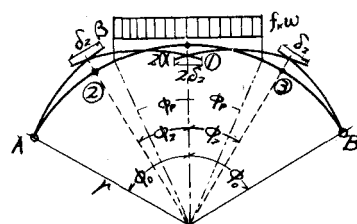


図-3

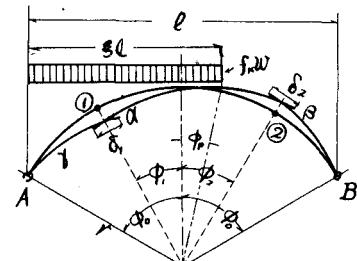


図-4

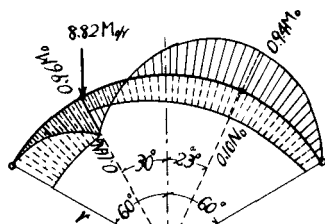


図-6

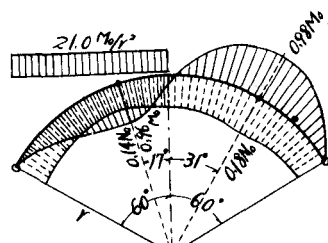


図-7

(d) 非対称等分布荷重 (図-4)

$|\phi_1| \leq |\phi_2|$ の場合

$$f_s W = \left[\frac{1}{2} (\sin \phi_2 - \sin \phi_1)^2 \nu \right]^{-1} (\mu' - 1) \frac{M_0}{\nu^2} \quad (13)$$

$|\phi_1| \geq |\phi_2|$, $|\phi_2| \leq |\phi_1|$ の場合

$$f_s W = \left[\frac{1}{2} (\sin \phi_2 + \sin \phi_1) + \sin \phi_2 \right] \{ \nu (\sin \phi_2 - \sin \phi_1) + \mu' h \sin \phi_1 \} - \frac{1}{2} \mu' (\sin \phi_1 + \sin \phi_2)^2 \left[\frac{1}{2} (\sin \phi_1 + \sin \phi_2)^2 \right]^{-1} (\mu' - 1) \frac{M_0}{\nu^2} \quad (14)$$

$|\phi_1| \geq |\phi_2|$ の場合

$$f_s W = \left[\nu (\sin \phi_2 - \sin \phi_1) (\sin \phi_1 + \sin \phi_2) + \mu' h \sin \phi_1 (\sin \phi_1 + \sin \phi_2) - \mu' (\sin \phi_1 + \sin \phi_2) \left\{ \frac{1}{2} (\sin \phi_1 - \sin \phi_2) + \sin \phi_2 \right\} + \frac{1}{2} (\sin \phi_2 - \sin \phi_1)^2 \right]^{-1} (\mu' - 1) \frac{M_0}{\nu^2} \quad (15)$$

以上の上界を与える式から、最小の $f_s W$ を与える中、中を $\frac{\partial f_s W}{\partial \phi_1} = 0$, $\frac{\partial f_s W}{\partial \phi_2} = 0$ から求めるならば、真の崩壊荷重、 $f_s P$, $f_s W$ を求めることができます。計算は $\frac{\partial f_s W}{\partial \phi_1} = 0$, $\frac{\partial f_s W}{\partial \phi_2} = 0$ を解くより試験的に求める方が容易である。今、 $\mu' = 0.01$, $\phi_1 = 60^\circ$ の場合について計算結果を示すと図-5の如くであり、そのときの応力分布は、図-6, 図-7の如くである。

(3) 放物線形 2ヒンジアーチの崩壊荷重算定式

等分布荷重を対象として、対称、および非対称の算定式を示す。

(a) 対称載荷 (図-8)

荷重下 W が拱頂から左右対称に $(0.5 - \xi)l$ の長さで分布しているとすれば、

降伏条件 (1)', 拱頂点の変位の条件から

$$\theta_2 = - \frac{\frac{1}{2} (k + \varepsilon_2 h)}{k + \varepsilon_2 h \cos \phi - \{1 - 4\beta_2(1-\xi)\} k} \theta_1 = \delta \theta_1 \quad (16)$$

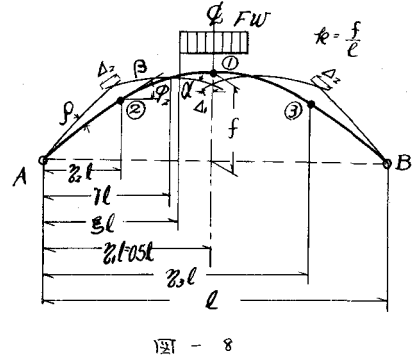


図-8

$$\gamma = -\theta_2 - \frac{1}{2} \theta_1 = \frac{1}{2} \left\{ \frac{k + \varepsilon_2 h}{k + \varepsilon_2 h \cos \phi - \{1 - 4\beta_2(1-\xi)\} k} - 1 \right\} \theta_1 = p \theta_1 \quad (17)$$

$$\text{とし } \gamma = \alpha, \quad \theta_2 = -\beta, \quad h = \frac{M_0}{EN}, \quad \varepsilon = \pm 1, \quad k = \frac{f}{l}$$

内部仕事

$$W_c = z M_{02} (\lambda_1 \theta_2 + n \lambda_2) + M_{01} (m_1 \theta_1 + n \lambda_1) = (-z M_{02} \gamma + M_{01}) \theta_1 \quad (18)$$

ここで、添番号 $1, 2$ は先々塑性関節 ① と ② に関するもの、 $\lambda = z n \theta$ 、

外部仕事

$$\frac{1}{2} \geq \xi \geq \xi_2 \text{ の場合}$$

$$W_e = \frac{1}{2} F_W l^2 [(0.5 - \xi)(0.5 - \xi) + \{1 - 8\beta_2(1-\xi) + 4\xi(1-\xi)\} \{1 - 4\beta_2(1-\xi)\} k^2] \times \frac{1}{2} \theta_1 \quad (19)$$

$$\xi_2 \geq \xi \geq 0 \text{ の場合}$$

$$W_e = \frac{1}{2} F_W l^2 [(0.5 - \xi_2)(0.5 - 2\xi + \xi_2) + \{1 - 8\beta_2(1-\xi) + 4\beta_2(1-\xi_2)\} \{1 - 4\beta_2(1-\xi)\} k^2] \theta_1 - F_W l^2 [\{\xi_2^2 - \xi^2\} \\ + 16 k^2 \{\beta_2(1-\xi_2) + \xi(1-\xi)\} \{\xi_2(1-\xi_2) - \xi(1-\xi)\}] p \theta_1 \quad (20)$$

その位置に応じて、内部仕事と外部仕事を等値にして、 F_W を最小ならしめる ξ, l の値を知ることにより、最小崩壊荷重を求め得る。

(b) 非対称載荷 (図-9)

荷重下 w が起拱度 A から γl の長さで分布しているとする
れば(図-9)

降伏条件式(1)', 起拱度の変位の条件から

$$\theta_2 = -\frac{4R\beta_1(1-\gamma_1) + \epsilon_1 h_1 \cos \phi_1}{4R\beta_2(1-\gamma_2) + \epsilon_2 h_2 \cos \phi_2} \quad \theta_1 = p\theta_1 \quad (21)$$

$$f = \left\{ (1-\gamma_1) + \epsilon_1 h_1 \sin \phi_1 \right\} \left\{ 4R\beta_1(1-\gamma_1) + \epsilon_1 h_1 \cos \phi_1 \right\} \\ - \left\{ (1-\gamma_2) - \epsilon_2 h_2 \sin \phi_2 \right\} \left\{ 4R\beta_2(1-\gamma_2) + \epsilon_2 h_2 \cos \phi_2 \right\} \\ \times \left\{ 4R\beta_2(1-\gamma_2) + \epsilon_2 h_2 \cos \phi_2 \right\}^{-1} \cdot \theta_1 = g\theta_1 \quad (22)$$

$$\text{ここで } \theta_1 = \alpha, \theta_2 = -\beta, \epsilon_1, \epsilon_2 = \pm 1$$

$$\text{内部仕事} \quad W_i = (M_{01} - pM_{02}) \theta_1 \quad (23)$$

外部仕事

$$g \geq 0 \text{ の場合} \quad W_e = \frac{1}{2} FWl^2 \{ 1 + 16R^2(1-\gamma)^2 \} g\theta_1 \quad (24)$$

$\gamma_1 \geq \gamma_2 \geq \gamma$ の場合

$$W_e = \frac{1}{2} FWl^2 \left[\{ 1 + 16R^2(1-\gamma_1)^2 \} \gamma_1^2 g + \{ (2\gamma - \gamma_1 - \gamma_2)(\gamma_1 - \gamma_2) + 16R^2 \{ 2\gamma(1-\gamma) - \gamma_1(1-\gamma_1) - \gamma_2(1-\gamma_2) \} \right. \\ \left. \times \{ \gamma_2(1-\gamma_2) - \gamma_1(1-\gamma_1) \} \} (1-g) \right] \theta_1 \quad (25)$$

$1 \geq \gamma_1 \geq \gamma_2$ の場合

$$W_e = \frac{1}{2} FWl^2 \left[\{ 1 + 16R^2(1-\gamma_2)^2 \} \gamma_2^2 g + \{ (2\gamma - \gamma_1 - \gamma_2)(\gamma_2 - \gamma_1) + 16R^2 \{ 2\gamma(1-\gamma) - \gamma_1(1-\gamma_1) - \gamma_2(1-\gamma_2) \} \right. \\ \left. \times \{ \gamma_1(1-\gamma_1) - \gamma_2(1-\gamma_2) \} \} (1-g) - \{ (1 + 16R^2 \gamma_2^2) (1-\gamma_2)^2 - (1 + 16R^2 \gamma_1^2) (1-\gamma_1)^2 \} (g-p-1) \right] \theta_1 \quad (26)$$

上の位置に応じて、内部仕事と外部仕事を平衡して、FWを最小がらくわかる $\gamma_1 l$, $\gamma_2 l$ の値を知ることにより最小崩壊荷重を求め得る。

[計算例]

$\frac{1}{l} = 0.245l$, 死荷重 = $1.27 t/m$, 箱型対称弦材断面をもつ鋼構造橋について計算した例を示すと図-10の如くである。

[参考文献]

P.G. Hodge, "Plastic Analysis of Structures," 1959 p.182

C.E. Massonnet, M.A. Sava
"Plastic Analysis and Design," Vol.1 1965 p.310

Y. Maeda "Ultimate Strength Analysis of Two-Hinged Braced-Rib Steel Arch Bridge,"

大阪大学工学報告 17巻 1号
1967

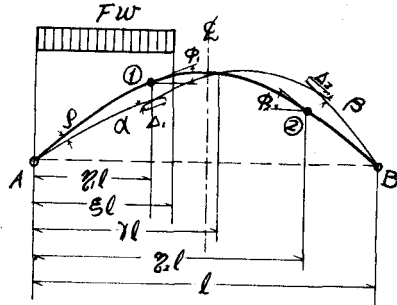


図-9

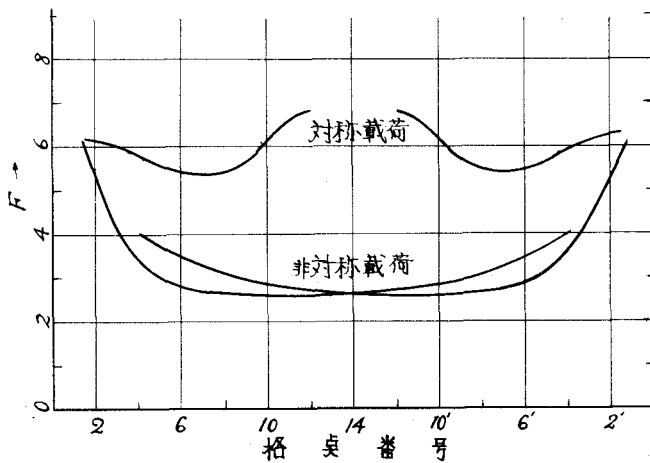


図-10